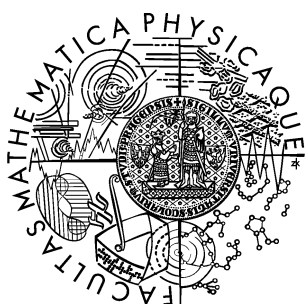


Univerzita Karlova v Praze  
Matematicko-fyzikální fakulta

## BAKALÁŘSKÁ PRÁCE



Petr Šimánek

### Metoda konečných prvků pro řešení stlačitelného proudění

Katedra numerické matematiky

Vedoucí bakalářské práce: Prof. RNDr. Miloslav Feistauer, DrSc.  
Studijní program: Matematika, obecná matematika

2007

Rád bych poděkoval svému vedoucímu bakalářské práce Prof. RNDr Miloslavu Feistauerovi za odborné vedení, Jaroslavě Prokopové za poskytnuté rady a rodičům za všeestrannou podporu.

Prohlašuji, že jsem svou bakalářskou práci napsal samostatně a výhradně s použitím citovaných pramenů. Souhlasím se zapůjčováním práce a jejím zveřejňováním.

V Praze dne

Petr Šimánek

# Obsah

<b>Úvod</b>	<b>5</b>
<b>1 Základní termodynamické vztahy</b>	<b>6</b>
1.1 Barotropní proudění, rychlosť zvuku, Machovo číslo . . . . .	6
1.2 Pohybové rovnice . . . . .	7
1.2.1 Rovnice kontinuity . . . . .	7
1.2.2 Navierovy-Stokesovy rovnice . . . . .	8
1.3 Zjednodušující předpoklady . . . . .	8
<b>2 Proudová funkce</b>	<b>10</b>
2.1 Proudová funkce . . . . .	10
2.2 Rovnice pro hustotu stlačitelného proudění . . . . .	10
<b>3 Formulace problému obtékání izolovaného profilu</b>	<b>14</b>
3.1 Profil . . . . .	14
3.2 Diferenciální rovnice a okrajové podmínky . . . . .	15
3.3 Žukovského profil . . . . .	16
<b>4 Numerické řešení</b>	<b>17</b>
4.1 Metoda konečných prvků . . . . .	17
4.1.1 Formulace problému . . . . .	17
4.1.2 Variační formulace . . . . .	18
4.2 Diskretizace problému . . . . .	19
4.2.1 Přibližné řešení . . . . .	20
4.2.2 Řešení diskrétního problému . . . . .	21
4.3 Nespojitá Galerkinova metoda . . . . .	21
4.3.1 Spojitý problém . . . . .	22
4.3.2 Diskrétní problém . . . . .	22
<b>5 Výsledky</b>	<b>25</b>
<b>Literatura</b>	<b>29</b>

Název práce: Metoda konečných prvků pro řešení stlačitelného proudění  
Autor: Petr Šimánek

Katedra (ústav): Katedra numerické matematiky

Vedoucí bakalářské práce: Prof. RNDr. Miloslav Feistauer, DrSc., dr. h. c.

e-mail vedoucího: feist@karlin.mff.cuni.cz

**Abstrakt:** Předkládaná práce se zabývá studiem obtékání izolovaného leteckého profilu. Jsou popsány rovnice popisující stlačitelné nevazké nevířivé stacionární rovinné subsonické proudění a je uveden popis problemu proudění pomocí rychlosti a pomocí proudové funkce. Hlavní náplní práce je studium metody konečných prvků a její srovnání s Galerkinovou nespojitou metodou. Metody jsou testovány na Žukovského profilu s ostrou odtahovou hranou. Důraz je kladen na okrajové podmínky, hlavně na ostrou odtokovou podmínu a její použití ve studovaných metodách.

**Klíčová slova:** nevazké, stlačitelné, subsonické, nevířivé, stacionární, rovinné proudění; metoda konečných prvků; Galerkinova nespojité metoda; odtoková podmínka; proudová funkce

Title: Finite element solution of compressible flow.

Author: Petr Šimánek

Department: Department of Numerical Mathematics

Supervisor: Prof. RNDr. Miloslav Feistauer, DrSc., dr. h. c.

Supervisor's e-mail address: feist@karlin.mff.cuni.cz

**Abstract:** In the present work we study problem of flow past an isolated airfoil. We describe the mathematical formulations of inviscid compressible irrotational stationary subsonic plane flow with aid of velocity and stream function. The problem is solved by finite element method and discontinuous Galerkin finite element method. We test these methods on Joukowskii airfoil with sharp trailing point. Special attention is paid to the trailing condition and its realization in the mentioned methods.

**Keywords:** irrotational, subsonic, inviscid, compressible, stationary, plane flow; stream function; trailing condition; finite element method; discontinuous Galerkin finite element method

# Úvod

Řešení problému obtékání leteckého profilu tekutinou je aktuální problém uplatňující se při návrhu tvaru leteckých křídel, lopatek turbín či vrtulí.

Používáme matematické modely popisující proudění tekutiny v okolí profilu. Tato práce je zaměřena především na proudění stlačitelné, nevazké, nevřivé, rovinné, subsonické. Je zde srovnán model založený na formulaci problému pomocí proudové funkce a jeho diskretizace pomocí konformních prvků s nespojitou Galerkinovou metodou. Důležitou roli při aplikaci metod hrají okrajové podmínky a odtoková podmínka. Odtoková podmínka musí být uvažována abychom získali řešení přípustné z fyzikálního pohledu.

Obě metody dávají při řešení tohoto problému podobné výsledky. Metody porovnáváme pomocí proudnic, izokřivek rychlosti a rozložení rychlosti podél profilu. Nespojitou Galerkinovu metodu je možné narození od metody konečných prvků aplikovaných na proudovou funkci použít i na proudění transonické, vířivé a nestacionární.

K testování je použit Žukovského profil, který se sice v letectví v současné době nepoužívá, ale protože je možné určit analytické řešení obtékání tohoto profilu, je velmi vhodný k testování numerických metod. Obě metody jsou však použitelné prakticky pro jakýkoliv profil.

Nespojitá Galerkinova metoda je v současné době intenzivně rozvíjena na katedře numerické matematiky MFF UK.

# Kapitola 1

## Základní termodynamické vztahy

Budeme se zabývat řešením proudění nevazké stlačitelné tekutiny. Veličiny popisující toto proudění jsou rychlosť  $\mathbf{v}$ , hustota  $\rho$ , tlak  $p$ , rychlosť zvuku  $a$  a entropie  $S$ . Budeme předpokládat, že všechny veličiny jsou reprezentovány dostatečně hladkými funkcemi v  $Q_T = \Omega \times (0, T)$ , kde  $T > 0$  je konstanta určující čas, po který proudění sledujeme a  $\Omega$  je oblast vyplněná sledovanou tekutinou. K popisu proudění používáme rovnici kontinuity, Eulerovy pohybové rovnice a termodynamické vztahy (viz [3], [6]).

### 1.1 Barotropní proudění, rychlosť zvuku, Machovo číslo

Proudění je barotropní, pokud může být tlak vyjádřen jako funkce hustoty:

$$p = f(\rho).$$

Tedy  $p(x, t) = f(\rho(x, t))$  pro všechna  $(x, t) \in Q_T$ . Předpokládáme, že

$$f : (0, +\infty) \rightarrow (0, +\infty)$$

a že existuje spojitá derivace

$$f' > 0 \quad v (0, +\infty).$$

Pro adiabatické barotropní proudění (kdy nedochází k výměně ani přenosu tepla) ideálního plynu lze dostat vztah

$$p = C\rho^\gamma,$$

kde  $C$  je konstanta a  $\gamma = c_p/c_v > 1$ . Zde je  $c_p$  je měrná tepelná kapacita při stálém tlaku,  $c_v$  je měrná tepelná kapacita při stálém objemu.

V obecnějším modelu než je barotropní proudění uvažujeme tlak jako funkci hustoty a entropie:  $p = f(\rho, S)$ , kde  $f$  je spojitě diferencovatelná funkce splňující podmíinku  $\partial f / \partial \rho > 0$ . Pro ideální plyn máme

$$p = C\rho^\gamma \exp(S/c_v).$$

Pokud entropie  $S$  je konstantní v celém proudovém poli, mluvíme o **homointropickém** proudění.

Rychlosť zvuku  $a$  dále definujeme jako

$$a = \sqrt{\partial f / \partial \rho}$$

v jednotkách  $ms^{-1}$ . Další důležitou charakteristikou proudění kapalin je Machovo číslo.

$$M = \frac{|\mathbf{v}|}{a}.$$

Machovo číslo je bezrozměrná veličina. Říkáme, že proudění je subsonické, sonické nebo supersonické v bodě  $x$  a v čase  $t$ , pokud

$$M(x, t) < 1, M(x, t) = 1 \text{ nebo } M(x, t) > 1.$$

O Machově čísle má význam mluvit pouze v případě stlačitelného proudění.

## 1.2 Pohybové rovnice

### 1.2.1 Rovnice kontinuity

**Rovnice kontinuity** je matematickým vyjádřením zákona zachování hmoty a lze ji psát ve tvaru

$$\frac{\partial \rho}{\partial t} + \operatorname{div}(\rho \mathbf{v}) = 0, \quad (1.1)$$

kde  $\rho$  je hustota a  $\mathbf{v}$  je vektor rychlosti.

### 1.2.2 Navierovy-Stokesovy rovnice

**Navierovy-Stokesovy rovnice**, které jsou matematickým vyjádřením zákona zachování hybnosti, je možné je vyjádřit takto:

$$\frac{\partial v_i}{\partial t} + \operatorname{div}(\rho v_i \mathbf{v}) = \rho f_i - \frac{\partial p}{\partial x_i} + \frac{\partial}{\partial x_i} (\lambda \operatorname{div} \mathbf{v}) + \sum_{i=1}^3 \frac{\partial}{\partial x_j} \left\{ \mu \left( \frac{\partial v_i}{\partial x_j} + \frac{\partial v_j}{\partial x_i} \right) \right\} \quad (1.2)$$

pro  $i = 1, 2, 3$  v  $Q_T$ , kde  $\rho$  je hustota,  $p$  je tlak,  $v_i$  jsou složky rychlosti,  $f_i$  jsou složky vektoru hustoty vnějších objemových sil ( $\mathbf{f}$  reprezentuje např. gravitační sílu),  $t$  je čas,  $\lambda$  a  $\mu$  jsou koeficienty vaznosti.

Koeficienty  $\lambda$  a  $\mu$  jsou v praxi často brány jako konstanty splňující  $3\lambda + 2\mu = 0$  pro  $\mu > 0$ . Koeficient  $\mu$  se nazývá dynamická vaznost. Uvedené vztahy jsou odvozené např. v [3].

## 1.3 Zjednodušující předpoklady

Uvažujeme-li **nevazké proudění** (tedy je-li vaznost tak malá, že ji zanedbáváme), pokládáme v Navierových-Stokesových rovnicích (1.2)  $\mu = \lambda = 0$ . Po úpravě dostaváme Eulerovy pohybové rovnice:

$$\frac{\partial \mathbf{v}}{\partial t} + (\mathbf{v} \operatorname{grad}) \mathbf{v} = \mathbf{f} - \frac{1}{\rho} \operatorname{grad} p \quad \text{v } Q_T. \quad (1.3)$$

Protože hustota plynů je velmi malá, lze vnější objemové síly  $\mathbf{f}$  obvykle zanedbávat. Proto budeme předpokládat, že  $\mathbf{f} = 0$ . Pokud dále všechny veličiny popisující proudění nezávisí čase  $t$  a platí  $\partial/\partial t = 0$ , mluvíme o **stacionárním proudění**. Rovnice kontinuity (1.1) má pak tvar

$$\operatorname{div}(\rho \mathbf{v}) = 0. \quad (1.4)$$

Pokud je proudění barotropní, adiabatické a homoentropické, pak lze psát

$$p = p_0 \left( \frac{\rho}{\rho_0} \right)^\gamma, \quad \rho > 0, \quad (1.5)$$

$$a^2 = \gamma \left( \frac{p_0}{\rho_0} \right) \left( \frac{\rho}{\rho_0} \right)^{\gamma-1} = a_0^2 \left( \frac{\rho}{\rho_0} \right)^{\gamma-1} = \gamma \frac{p}{\rho}, \quad (1.6)$$

kde veličiny s indexem nula odpovídají rychlosti  $\mathbf{v} = 0$ .

Položme  $a_0 = \sqrt{\gamma p_0 / \gamma_0}$  a definujme tlakovou funkci  $P(\rho)$  vztahem

$$P(\rho) = \int_{\rho_0}^{\rho} \frac{\frac{dp}{d\rho}(\tau)}{\tau} d\tau = \frac{a_0^2}{\gamma - 1} \left[ \left( \frac{\rho}{\rho_0} \right)^{\gamma-1} - 1 \right]. \quad (1.7)$$

Protože platí  $(1/\rho) \operatorname{grad} p = \operatorname{grad} P(\rho)$  a

$$(\mathbf{v} \cdot \operatorname{grad})\mathbf{v} = 1/2|\mathbf{v}|^2 - \mathbf{v} \times \operatorname{rot} \mathbf{v},$$

dostaneme pohybovou rovnici (1.3) ve tvaru

$$\mathbf{v} \times \operatorname{rot} \mathbf{v} = \operatorname{grad} H, \quad (1.8)$$

kde

$$H = P(\rho) + \frac{1}{2}|\mathbf{v}|^2. \quad (1.9)$$

Dalším zjednodušením je uvažování pouze **nevířivého proudění**, tedy proudění takového, že malé objemy se pohybují translačně a deformují se, ale nerotují. Matematicky je to vyjádřeno podmínkou

$$\operatorname{rot} \mathbf{v} = 0 \quad \text{v } \Omega. \quad (1.10)$$

Máme-li tedy nevířivé homoentropické proudění, pak (1.8) implikuje, že  $\operatorname{grad} H = 0$  a tedy, že  $H = \text{konst}$  v  $\Omega$ . Z (1.7), (1.9) a z  $H = \text{konst}$  plyne rovnice pro hustotu ve tvaru

$$\rho = \rho_0 \left( 1 - \frac{\gamma - 1}{2a_0^2} |\mathbf{v}|^2 \right)^{\frac{1}{\gamma-1}}. \quad (1.11)$$

Tato rovnice je někdy nazývána Bernoulliova rovnice pro stlačitelné proudění. Pravá strana této rovnice dává smysl pouze pro  $0 \leq |\mathbf{v}|^2 \leq \frac{2a_0^2}{\gamma-1}$ .

Systém popisující nevířivé nevazké barotropní stlačitelné proudění nyní tvoří rovnice (1.4), (1.10) a (1.11).

Předpokládejme, že je možné zavést kartézské souřadnice  $x_1, x_2, x_3$  tak, že všechny veličiny popisující proudění jsou funkcií  $x_1, x_2$ , proudění je tedy zkoumáno pouze na  $\Omega \subset \mathbb{R}^2$  a že složka rychlosti ve směru osy  $x_3$  je nulová. Pak mluvíme o **rovinném proudění**. Rovnice kontinuity a podmínka nevířivého proudění mají pro rovinné proudění tvar

$$\frac{\partial \rho v_1}{\partial x_1} + \frac{\partial \rho v_2}{\partial x_2} = 0 \quad \text{v } \Omega \quad (1.12)$$

a

$$\frac{\partial v_1}{\partial x_2} - \frac{\partial v_2}{\partial x_1} = 0 \quad \text{v } \Omega. \quad (1.13)$$

# Kapitola 2

## Proudová funkce

### 2.1 Proudová funkce

Uvažujme nevřivé rovinné proudění popsané rovnicemi (1.12) a (1.13). Na základě rovnice (1.12) zavedeme proudovou funkci  $u$  splňující podmínky

$$\frac{\partial u}{\partial x_2} = \rho v_1, \quad \frac{\partial u}{\partial x_1} = -\rho v_2 \quad \text{v } \Omega. \quad (2.1)$$

Pokud existuje proudová funkce  $u \in C^2(\Omega)$ , je rovnice (1.12) automaticky splněna. Pokud dosadíme podmínky (2.1) do rovnice (1.13), získáme rovnici pro proudovou funkci ve tvaru

$$\sum_{i=1}^2 \frac{\partial}{\partial x_i} \left( \frac{1}{\rho} \frac{\partial u}{\partial x_i} \right) = 0 \quad \text{v } \Omega. \quad (2.2)$$

Označíme-li  $b = 1/\rho$ , máme

$$\sum_{i=1}^2 \frac{\partial}{\partial x_i} \left( b (|\nabla u|^2) \frac{\partial u}{\partial x_i} \right) = 0 \quad \text{v } \Omega. \quad (2.3)$$

### 2.2 Rovnice pro hustotu stlačitelného prouďení

Substitucí (2.1) do (1.11) získáme

$$\rho = \rho_0 \left( 1 - \frac{\gamma - 1}{2a_0^2} \frac{1}{\rho^2} |\nabla u|^2 \right)^{\frac{1}{\gamma-1}}. \quad (2.4)$$

Toto je implicitní vyjádření hustoty  $\rho$  jako funkce proměnné  $\eta = |\nabla u|^2$ . Položíme-li

$$\sigma = \left( \frac{\rho}{\rho_0} \right)^2, \quad \vartheta = \frac{\gamma - 1}{2a_0^2 \rho_0^2} \eta, \quad \lambda = \frac{2}{\gamma - 1}, \quad (2.5)$$

dostáváme (2.4) ve tvaru

$$\sigma = \left( 1 - \frac{\vartheta}{\sigma} \right)^\lambda \quad (2.6)$$

**Lemma 2.2.1** 1) Rovnice (2.6) má řešení  $\sigma$  právě když

$$0 \leq \vartheta \leq \vartheta_{kr} = \frac{1}{\lambda + 1} \left( \frac{\lambda}{\lambda + 1} \right)^\lambda. \quad (2.7)$$

Pro  $\vartheta = \vartheta_{kr}$  existuje právě jedno řešení

$$\sigma_{kr} = \left( \frac{\lambda}{\lambda + 1} \right)^\lambda. \quad (2.8)$$

Pokud  $\vartheta \in (0, \vartheta_{kr})$ , pak (2.6) má dvě různé řešení  $\sigma_1$  a  $\sigma_2$  splňující nerovnosti  $0 < \sigma_1 < \sigma_{kr} < \sigma_2 < 1$ . Pro  $\vartheta = 0$  máme jediné řešení  $\sigma_2 = 1$ .

2) Proudění je subsonické resp. supersonické resp. sonické v bodě  $x \in \Omega$ , pokud se  $\sigma(x)$  rovná řešením  $\sigma_1$  resp.  $\sigma_2$  resp.  $\sigma_{kr}$ .

3) Nechť  $M^* \in (0, 1)$ . Pak existuje  $\sigma^* \in (\sigma_{kr}, 1)$  takové, že Machovo číslo  $M$  splňuje podmítku  $0 \leq M \leq M^*$  právě když  $\sigma^* \leq \sigma \leq 1$ .

**Důkaz.** Tvrzení 1) snadno dostaneme ze závislosti  $\vartheta$  na  $\sigma$  ve (2.6). Dále z (2.5), (2.6) a (1.6) dostaneme

$$\begin{aligned} M^2 &= \frac{|\mathbf{v}|^2}{a^2} = \frac{|\nabla u|^2}{\rho^2} \frac{1}{a_0^2} \left( \frac{\rho_0}{\rho} \right)^{\gamma-1} = \frac{|\nabla u|^2}{a_0^2 \rho_0^2} \left( \frac{\rho}{\rho_0} \right)^{-2(1+1/\lambda)} = \lambda \vartheta \sigma^{-(1+1/\lambda)} \\ &= \lambda(\sigma^{-1/\lambda} - 1). \end{aligned}$$

Z tohoto důvodu platí

$$M = \sqrt{\lambda(\sigma^{-1/\lambda} - 1)},$$

z čehož snadno plynou tvrzení 2) a 3).

□

Pokud je proudění subsonické v  $\Omega$ , pak závislost kořene  $\sigma_2$  rovnice (2.6) na  $\vartheta$  definuje závislost hustoty na  $|\nabla u|^2$ . Protože řešení (2.6) je nejednoznačné, je nejednoznačné i řešení (2.4) a rovnice (2.2) není proto považována za vhodnou pro transonické proudění v  $\Omega$ . V dalším se proto omezím pouze na striktně subsonické proudění v  $\Omega$ , pro které

$$0 \leq M \leq M^* \quad \text{v } \Omega, \quad (2.9)$$

kde  $M^* \in (0, 1)$ ,  $M^* = \text{konst.}$

**Lemma 2.2.2** 1) Funkce přiřazující  $\vartheta \in [0, \vartheta_{kr}] \rightarrow \sigma(\vartheta) = \sigma_2$ , kde  $\sigma_2 \in [\sigma_{kr}, 1]$  je řešením rovnice (2.6), je třídy  $C^\infty([0, \vartheta_{kr}])$ . Dále  $\sigma(0) = 1$ ,  $\sigma(\vartheta_{kr}) = \sigma_{kr}$ ,  $\sigma'(\vartheta) < 0$  pro  $\vartheta \in (0, \vartheta_{kr})$  a  $\sigma'(\vartheta_{kr}) = -\infty$ .

2) Nechť  $M^* \in (0, 1)$ ,  $\sigma^*$  budě konstanta z lemmatu 2.2.1 a  $\vartheta^*$  nechť splňuje podmínky  $\sigma(\vartheta^*) = \sigma^*$ ,  $\vartheta^* \in (0, \vartheta_{kr})$ . Pak existuje funkce  $\tilde{\sigma} : [0, +\infty) \rightarrow [\sigma_{kr}, 1]$  s následujícími vlastnostmi:

- a)  $\tilde{\sigma}|[0, \vartheta^*] = \sigma|[0, \vartheta^*]$ .
- b) Derivace  $\tilde{\sigma}'$  je Lipschitzovsky spojitá v  $[0, +\infty]$ .
- c)  $-\infty < \tilde{\sigma}'(\vartheta) \leq 0 \quad \forall \vartheta \in [0, +\infty]$ .
- d) Existuje  $\tilde{\vartheta} \geq \vartheta_{kr}$  taková, že  $\tilde{\sigma}'(\vartheta) = 0$  pro  $\vartheta \geq \tilde{\vartheta}$ .

**Důkaz.** 1) plyne z věty o implicitních funkcích.

2) Funkci  $\tilde{\sigma}$  lze konstruovat například jako funkci splňující:

- $\tilde{\sigma} = \sigma, \quad \vartheta \in [0, \vartheta^*]$
- $\tilde{\sigma} = \sigma(\vartheta^*) \exp \left( \int_{\vartheta^*}^{\vartheta} g(t) dt \right), \quad \vartheta \geq \vartheta^*$
- $g(t) = \sigma'(\vartheta^*)(t - \vartheta_{kr}), \quad t \in [\vartheta^*, \vartheta_{kr}]$
- $g(t) = 0, \quad t \geq \vartheta_{kr}$

□

Položíme-li

$$b(\eta) = \rho_0^{-1} \left[ \tilde{\sigma} \left( \frac{\gamma - 1}{2a_0^2 \rho_0^2} \eta \right) \right]^{-\frac{1}{2}}, \quad \eta \geq 0, \quad (2.10)$$

a substituujeme-li  $b := b(|\nabla u|^2)$  do (2.3), dostaneme rovnici popisující striktně subsonické stlačitelné nevýřivé proudění s Machovým číslem  $M \leq M^* < 1$ . Tento výsledek je formulován v následujícím lemmatu.

**Lemma 2.2.3** 1) Nechť funkce  $v_1, v_2, \rho \in C^1(\Omega)$  tvorí řešení systému (1.11), (1.12) a (1.13) v  $\Omega$  a definuje proudění s Machovým číslem  $M \in [0, M^*]$ , kde  $M^* \in (0, 1)$ . Nechť  $u$  je proudová funkce splňující (2.1). Potom  $u$  je řešením rovnice (2.3), kde  $b = b(|\nabla u|^2)$  je dáno v (2.10). Navíc

$$\vartheta = \frac{\gamma - 1}{2a_0^2\rho_0^2}|\nabla u| \leq \vartheta^* \quad \text{v } \Omega, \quad (2.11)$$

s  $\vartheta^*$  z lemmatu (2.2.2).

2) Nechť  $u \in C^2(\Omega)$  je řešení (2.3) s  $b$  z (2.10). Potom

$$\begin{aligned} \rho &= b^{-1}(|\nabla u|^2), \\ v_1 &= \frac{1}{\rho} \frac{\partial u}{\partial x_2}, \\ v_2 &= -\frac{1}{\rho} \frac{\partial u}{\partial x_1} \end{aligned} \quad (2.12)$$

jsou prvky prostoru  $C^1(\Omega)$  a splňují (1.12) a (1.13). Pokud je navíc splněna podmínka (2.11), platí i (1.11) a funkce  $\rho, v_1, v_2$  definují subsonické proudění v  $\Omega$  s Machovým číslem  $M \leq M^*$ .

**Důkaz.** Lemma je důsledkem lemmat (2.2.1), (2.2.2) a identit (2.1) a (2.5).

# Kapitola 3

## Formulace problému obtékání izolovaného profilu

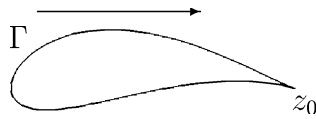
### 3.1 Profil

Definice 3.1.1

- *Křivkou v  $\Omega$  nazveme spojité zobrazení  $\varphi : [a, b] \rightarrow \Omega$ , kde  $[a, b]$  je uzavřený omezený interval.*
- *Křivka  $\varphi : [a, b] \rightarrow \Omega$  je **hladká**, pokud existuje  $\varphi'(t) \neq 0$  pro všechny  $t$  z  $[a, b]$ .*
- *Křivka  $\varphi : [a, b] \rightarrow \Omega$  je **po částech hladká**, pokud existuje dělení  $a = a_0 < a_1 < \dots < a_k = b$ ,  $k \in \mathbb{N}$  tak, že  $\varphi|_{[a_{i-1}, a_i]}$  je hladká pro všechny  $i = 1, \dots, k$ .*
- *Křivka  $\varphi : [a, b] \rightarrow \Omega$  je **uzavřená**, pokud  $\varphi(a) = \varphi(b)$ .*
- *Uzavřená křivka  $\varphi : [a, b] \rightarrow \Omega$  je **jednoduchá**, pokud  $\varphi(t_1) \neq \varphi(t_2)$  pro  $\forall t_1, t_2 \in [a, b], t_1 \neq t_2$ .*

Definice 3.1.2 **Profilem**  $\Gamma$  nazveme geometrický obraz uzavřené, jednoduché, záporně orientované křivky v  $\mathbb{R}^2$ , která je hladká s výjimkou nejvýše jednoho bodu.

V praktických aplikacích se předpokládá, že bod  $z_0$ , ve kterém není křivka hladká, se nachází na odtokové hraně profilu vzhledem k proudící tekutině.

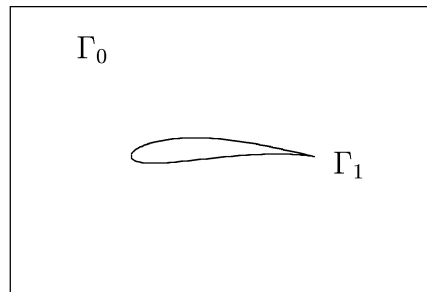


Obr 3.1.2

## 3.2 Diferenciální rovnice a okrajové podmínky

V této části uvažujeme pouze rovinné, nevazké, stacionární, nevřívné, subsonické, stlačitelné proudění, které je popsáno rovnicí (2.2) (popřípadě rovnicí (2.3) a okrajovými podmínkami.

Předpokládáme, že  $\Omega$  je oblast s hranicí  $\partial\Omega$  skládající se ze dvou disjunktivních jednoduchých uzavřených křivek  $\Gamma_0$  (vnější komponenta) a  $\Gamma_1$  (vnitřní komponenta - profil) viz obrázek 3.2.1.



Obrázek 3.2.1

Na  $\partial\Omega$  předepíšeme obraťové podmínky. Na vnější části  $\Gamma_0$  je vhodné uvažovat smíšené Dirichlet-Neumannovy podmínky:

$$u|_{\Gamma_D} = u_D, \quad b \frac{\partial u}{\partial n}|_{\Gamma_N} = -\Phi_N. \quad (3.1)$$

$\partial/\partial n$  označuje derivaci podle vnější normály k  $\partial\Omega$ ,  $u_D$  a  $\Phi_N$  jsou dané funkce,  $\Gamma_0 = \bar{\Gamma}_D \cup \bar{\Gamma}_N$  a  $\Gamma_D \cap \Gamma = \emptyset$ . Předpokládáme, že profil  $\Gamma_1$  je nepropustný. Poté je na profilu proudová funkce  $u$  rovná předem neznámé konstantě  $q_1$

$$u|_{\Gamma_1} = q_1. \quad (3.2)$$

K určení této konstanty je třeba uvažovat vhodné doplňující podmínky. V případě, že neznáme rychlosť proudění okolo profilu, je nutné vybrat  $q_1$  tak, aby výsledné řešení bylo fyzikálně přípustné, tedy aby byla splněna Kuttova-Žukovského podmínka ([3], paragraf 2.2.70 a [5]). Pokud je profil  $\Gamma_1$  hladká křivka, uvažujeme podmínu

$$\frac{\partial u}{\partial n}(z) = 0,$$

kde  $z$  je daný odtokový bod. Pokud je profil hladký až na jeden bod  $z_0$  (viz obrázek 3.1.2), musíme  $q_1$  vybrat tak, aby  $|\nabla u|^2$  byla omezená v okolí  $\Gamma_1$ .

### 3.3 Žukovského profil

Žukovského funkce je funkce

$$Z(\vartheta) = \frac{1}{2} \left( \vartheta \frac{a^2}{\vartheta} \right), \quad (3.3)$$

kde  $\vartheta \in S$  ( $S = \mathbb{C} \cup \{\infty\}$ ),  $a \in (0, \infty)$ . Funkce  $Z$  je racionální a holomorfni v  $\mathbb{C} - \{0\}$ . Body  $0$  a  $\infty$  jsou jednoduché póly Žukovského funkce.  $Z$  má následující vlastnosti:

- $Z(S) = S$ ,  $Z(\vartheta_1) = Z(\vartheta_2)$  pouze když  $\vartheta_1 = \vartheta_2$  nebo  $\vartheta_1 = a^2/\vartheta_2$ .
- Funkce  $Z$  je prostá na množině  $M \subset Z$ , která neobsahuje žádnou z dvojic  $\vartheta_1 = \vartheta_2$  a  $\vartheta_1 = a^2/\vartheta_2$ . Je-li množina  $M$  otevřená je  $Z|M$  konformní zobrazení.

Žukovského funkce se používá ke konstrukci Žukovského profilu. Mějme kruh  $K(h, a)$  se středem  $ih$  a procházející body  $-a$ ,  $a$ , kde  $h \in [0, \infty]$ . Dále nechť kruh  $M$  se dotýká kruhu  $K$  v bodě  $a$  a splňuje  $\text{Int}K(h, a) \subset \text{Int}M \cup \{a\}$ . Množinu  $Z(M)$  nazýváme Žukovského profil. Žukovského profil je obrazem jednoduché uzavřené křivky a je závislý na parametrech  $h$ ,  $a$  a na vzdálenosti středů kruhů  $K$  a  $M$ .

Žukovského profil se již v letectví pro konstrukci křídel nepoužívá. Kvůli možnosti získat pro Žukovského profil přesné řešení (metodou funkcí komplexní proměnné) se tento profil používá pro testování numerických metod.

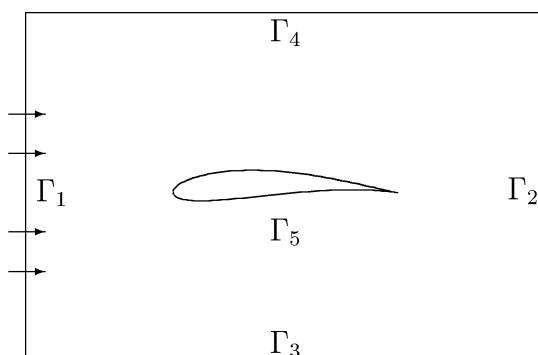
# Kapitola 4

## Numerické řešení

### 4.1 Metoda konečných prvků

#### 4.1.1 Formulace problému

Klasické řešení problému obtékání profilu je definováno jako funkce  $u \in C^2(\Omega)$  a konstanta  $q_1$  splňující (2.3), (3.1) a odtokovou podmínu.



Uvažujme  $\partial\Omega$  rozdelenou stejně jako na obrázku. Na  $\Gamma_1$ ,  $\Gamma_3$  a  $\Gamma_4$  uvažujeme Dirichletovu okrajovou podmínu  $u|_{\Gamma_i} = u_i$ ,  $i = 1, 3, 4$ . Na  $\Gamma_2$  uvažujeme Neumannovu okrajovou podmínu  $b \frac{\partial u}{\partial n}|_{\Gamma_2} = -\Phi_N$ . Na  $\Gamma_5$  máme podmínu  $u|_{\Gamma_5} = q_1$ . Označme  $\Gamma_D = \bigcup_{i=1,3,4} \Gamma_i$ .

### 4.1.2 Variační formulace

Rovnici (2.3) můžeme psát ve tvaru

$$\operatorname{div}(b(|\nabla u|^2) \nabla u) = 0. \quad (4.1)$$

Definujeme prostor testovacích funkcí

$$V = \{\varphi \in C^1(\bar{\Omega}); \varphi|_{\Gamma_D} = 0, \varphi|_{\Gamma_5} = 0\}. \quad (4.2)$$

Rovnici (4.1) nyní vynásobíme libovolnou funkcí  $\varphi \in V$ , zintegrujeme přes  $\Omega$  a použijeme Greenovu větu:

$$\begin{aligned} 0 &= \int_{\Omega} \operatorname{div}(b(|\nabla u|^2)) \nabla u = \int_{\Omega} \sum_{i=1}^2 \frac{\partial}{\partial x_i} \left( b \frac{\partial u}{\partial x_i} \right) \varphi \, dx = \\ &= - \int_{\Omega} \sum_{i=1}^2 b \frac{\partial u}{\partial x_i} \frac{\partial \varphi}{\partial x_i} \, dx + \int_{\partial\Omega} \sum_{i=1}^2 b \frac{\partial u}{\partial x_i} n_i \varphi \, dS. \end{aligned} \quad (4.3)$$

Protože

$$\sum_{i=1}^2 \frac{\partial u}{\partial x_i} n_i = \frac{\partial u}{\partial n}$$

a

$$b \frac{\partial u}{\partial n}|_{\Gamma_2} = -\Phi_N,$$

dostáváme

$$\int_{\Omega} \sum_{i=1}^2 b \frac{\partial u}{\partial x_i} \frac{\partial \varphi}{\partial x_i} = \int_{\Gamma_2} \Phi_N \varphi \, dS, \quad (4.4)$$

tedy

$$\int_{\Omega} b(|\nabla u|^2) \nabla u \cdot \nabla \varphi = \int_{\Gamma_2} \Phi_N \varphi \, dS, \quad \forall \varphi \in V. \quad (4.5)$$

Definujme nyní fukcionály

$$a(u, \varphi) = \int_{\Omega} b(|\nabla u|^2) \nabla u \cdot \nabla \varphi \, dx, \quad (4.6)$$

$$L(\varphi) = \int_{\Gamma_2} \Phi_N \varphi \, dS. \quad (4.7)$$

Rovnici (4.5) můžeme psát ve tvaru

$$a(u, \varphi) = L(\varphi) \forall \varphi \in V. \quad (4.8)$$

Zavedeme funkci  $u^* \in C^2(\bar{\Omega})$  s těmito vlastnostmi:

$$u^*|_{\Gamma_D} = u_D \quad (4.9)$$

$$u^*|_{\Gamma_5} = 0 \quad (4.10)$$

$$\frac{\partial u^*}{\partial \bar{n}}(z_0) = 0, \quad (4.11)$$

kde  $\partial/\partial \bar{n}$  je derivace ve směru osy  $\alpha$  v bodě  $z_0$ , a prostor

$$\tilde{V} = \left\{ \varphi \in C^2(\bar{\Omega}); \varphi|_{\Gamma_D} = 0, \varphi|_{\Gamma_5} = \text{konst}, \frac{\partial \varphi}{\partial \bar{n}}(z_0) = 0 \right\}. \quad (4.12)$$

Vidíme, že  $u - u^* \in \tilde{V}$  a tedy  $u = u^* + v$ , kde  $v \in \tilde{V}$ .

Z předchozího vidíme, že je-li  $u$  klasické řešení problému definovaného v 4.1.1, splňuje též podmínky

$$u \in C^2(\bar{\Omega}), \quad (4.13)$$

$$u - u^* \in \tilde{V}, \quad (4.14)$$

$$a(u, \varphi) = L(\varphi) \quad \forall \varphi \in V, \quad (4.15)$$

Naším cílem bude řešit tento problém metodou konečných prvků.

## 4.2 Diskretizace problému

Oblast  $\Omega$  approximujme pomocí oblasti  $\Omega_h$  s po částech lineární hranicí  $\partial\Omega_h$ , kde vrcholy (body dělení z definice (3.11)) leží na hranici  $\partial\Omega$ . Části approximované hranice značíme  $\Gamma_D \approx \Gamma_{Dh}$ ,  $\Gamma_5 \approx \Gamma_{5h}$  a  $\Gamma_2 \approx \Gamma_{2h}$ . Vytvoříme triangulaci  $\mathcal{T}_h$  oblasti  $\Omega_h$ .  $\mathcal{T}_h$  se zkládá z konečného počtu uzavřených trojúhelníků  $T$  s následujícími vlastnostmi (viz [6], paragraf 4.1. nebo [5]):

- $\bar{\Omega}_h = \bigcup_{T \in \mathcal{T}} T$ ,

- jestliže  $T_1, T_2 \in \mathcal{T}_h$ ,  $T_1 \neq T_2$ , pak buď  $T_1 \cap T_2 \neq 0$  nebo  $T_1 \cap T_2$  je společný vrchol trojúhelníků  $T_1, T_2$  nebo  $T_1 \cap T_2$  je společná hrana těchto trojúhelníků.

Označme  $\sigma_h = \{P_1, \dots, P_N\}$  množinu všech vrcholů v  $\mathcal{T}_h$ . Předpokládáme že  $\sigma_h$  má tyto vlastnosti:

- $\sigma_h \subset \overline{\Omega}_h$ ,  $\sigma_h \cap \partial\Omega_h \subset \partial\Omega$ ,
- průsečíky částí hranice  $\Omega$  s různými okrajovými podmínkami jsou prvky  $\sigma_h$ ,
- body, v nichž není hranice  $\Omega$  hladká, jsou prvky  $\sigma_h$ ,
- bod  $z_0$  ležící na ostré odtokové hraně profilu je prvkem  $\sigma_h$  a existuje trojúhelník  $T$  s vrcholy  $P_a = z_0$ ,  $P_b \in \sigma_h$  takový, že strana  $S = P_a P_b \in \partial T$  má směr osy  $\alpha$  v bodě  $z_0$ .

Přibližné řešení problému bude hledáno v prostoru konformních lineárních prvků

$$X_h = \{\varphi_h \in C(\overline{\Omega})_h; \varphi_h|T \text{ je lineární } \forall T \in \mathcal{T}_h, \} \quad (4.16)$$

a prostor  $V$  testovacích funkcí (4.2) budeme approximovat pomocí

$$V_h = \{\varphi_h \in X_h; \varphi_h|_{\Gamma_{Dh}} = 0, \varphi_h|_{\Gamma_{5h}} = 0\}. \quad (4.17)$$

Prostor  $\tilde{V}$  definovaný v (4.12) approximujeme

$$\tilde{V}_h = \{\varphi_h \in X_h; \varphi_h|_{\Gamma_{Dh}} = 0, \varphi_h|_{\Gamma_{5h}} = \text{konst}, \varphi_h(z_0) = \varphi_h(P_b)\}. \quad (4.18)$$

Zavedme funkci  $u_h^* \in X_h$  s těmito vlastnostmi:

$$u_h^*(P) = u_D(P) \quad \forall P \in \sigma_h, \quad (4.19)$$

$$u_h^*|_{\Gamma_{5h}} = 0, \quad (4.20)$$

$$u(P_b) = 0. \quad (4.21)$$

### 4.2.1 Přibližné řešení

Hledáme přibližné řešení  $u_h : \overline{\Omega}_h \rightarrow \mathbb{R}^1$  splňující

$$u_h \in X_h, \quad (4.22)$$

$$u_h - u_h^* \in \tilde{V}_h, \quad (4.23)$$

$$a_h(u_h, \varphi_h) = L_h(\varphi_h) \quad \forall \varphi_h \in V_h. \quad (4.24)$$

Funkcionály (4.6), (4.7) mají své diskrétní tvary

$$a_h(u_h, \varphi_h) = \int_{\Omega_h} b(|\nabla u_h|^2) \nabla u_h \nabla \varphi_h, \quad (4.25)$$

$$L_h(\varphi_h) = \int_{\Gamma_{2h}} \Phi_{Nh} \varphi_h \, dS, \quad (4.26)$$

Kde  $\Phi_{Nh}$  je approximace funkce  $\Phi_N$ .

### 4.2.2 Řešení diskrétního problému

V prostoru  $X_h$  existuje baze  $\{\omega\}_{i=1}^N$  splňující

$$\omega_i(P_j) = \delta_{ij}, \quad i, j = 1, \dots, N.$$

Jestliže  $\varphi_h \in X_h$ , pak

$$\varphi_h = \sum_{i=1}^n \varphi_h(P_i) \omega_i. \quad (4.27)$$

V prostoru  $V_h$  existuje baze  $\{\omega^*\}_{i=1}^n$ , kde jsou  $\omega_i^* \in X_h$  přiřazeny vrcholům  $P_i \in \sigma_h \cap (\Omega_h \cup \Gamma_{2h})$ , tedy  $n$  je počet prvků množiny  $\sigma_h \cap (\Omega_h \cup \Gamma_{2h})$ .

Na prostoru  $\tilde{V}_h$  definujeme bazi  $\{\tilde{\omega}^*\}_{i=1}^n$   $P_i \in \sigma_h \cap (\Omega_h \cup \Gamma_{2h} \cup \Gamma_{5h})$ , pro kterou platí

- a)  $\tilde{\omega}_i^* = \omega_i^*$  pro  $i = 1, \dots, n$  takové, že  $P_i \in \sigma_h \cap (\Omega_h \cup \Gamma_{2h} \cup \Gamma_{5h})$
- b)  $\tilde{\omega}_i^* = \sum_{P_i \in \sigma_h \cap (\{P_a\} \cup \Gamma_{5h})} w_h \omega_i^*$  pro  $P_i = P_a$ .

Přibližné řešení lze zapsat ve tvaru  $u_h = u_h^* + w_h$ ,  $w_h \in \tilde{V}_h$ , kde funkce  $w_h$  můžeme zapsat ve tvaru  $w_h = \sum_{i=1}^n w_h \tilde{\omega}_i^*$ . Dostáváme tak vyjádření přibližného řešení ve tvaru

$$u_h = u_h^* + \sum_{i=1}^n w_h \tilde{\omega}_i^*.$$

## 4.3 Nespojitá Galerkinova metoda

Metodu konečných prvků pro stlačitelné proudění budeme srovnávat s nespojitu Galerkinovou metodou popsanou např. v [1], [2], [7]:

### 4.3.1 Spojitý problém

Eulerovy rovnice popisující rovinné nevazké proudění mohou být psány ve tvaru ([6])

$$\frac{\partial \mathbf{w}}{\partial t} + \sum_{s=1}^2 \frac{\partial \mathbf{f}_s(\mathbf{w})}{\partial x_s} = 0 \quad \text{v } Q_T = \Omega \times (0, T), \quad (4.28)$$

kde

$$\mathbf{w} = (w_1, \dots, w_4)^T = (\rho, \rho v_1, \rho v_2, E)^T \quad (4.29)$$

je takzvaný stavový vektor a

$$\mathbf{f}_s(\mathbf{w}) = (\rho v_s, \rho v_s v_1 + \delta_{s1} p, \rho v_s v_2 + \delta_{s2} p, (E + p) v_s)^T \quad (4.30)$$

jsou nevazké toky.  $E$  je celková energie a  $\delta_{sk}$  je Kroneckerovo delta. Stavová rovnice implikuje

$$p = (\gamma - 1)(E - \rho |\mathbf{v}|^2 / 2). \quad (4.31)$$

Uvažujeme počáteční podmínu

$$\mathbf{w}(\mathbf{x}, 0) = \mathbf{w}^0(x), \quad x \in \Omega, \quad (4.32)$$

a okrajové podmínky. Definujeme matici

$$P(\mathbf{w}, \mathbf{n}) := \sum_{s=1}^2 A_s(\mathbf{w}) n_s, \quad (4.33)$$

kde  $\mathbf{n} = (n_1, n_2) \in \mathbb{R}^2$ ,  $n_1^2 + n_2^2 = 1$  a

$$\mathbf{A}_s(\mathbf{w}) = \frac{D\mathbf{f}_s(\mathbf{w})}{D\mathbf{w}}, \quad s = 1, 2, \quad (4.34)$$

jsou Jakobiho matice zobrazení  $\mathbf{f}_s$ . Je možné ukázat, že platí

$$\mathbf{f}_s(\mathbf{w}) = \mathbf{A}_s(\mathbf{w}) \mathbf{w}, \quad s = 1, 2. \quad (4.35)$$

### 4.3.2 Diskrétní problém

Nechť  $\Omega_h$  je approximace  $\Omega$  stejná jako v metodě konečných prvků. Jako  $\mathcal{T}_h$  označíme triangulaci  $\Omega_h$  skládající se z trojúhelníků  $K_i \in \mathcal{T}_h$ ,  $i \in I$  ( $I \subset \{0, 1, 2, \dots\}$  je vhodná indexová množina). Jako  $\Gamma_{ij}$  označíme společnou hranu

mezi elementy  $K_i, K_j$ . Pro každý trojúhelník  $K_i$  označíme  $S(i)$  množinu indexů takových, že

$$\partial K_i = \bigcup_{j \in S(i)} \Gamma_{ij}. \quad (4.36)$$

Symbol  $\mathbf{n}_{ij} = ((n_{ij})_1, (n_{ij})_2)$  označuje normálu k  $\partial K_i$  na hraně  $\Gamma_{ij}$ . Jako  $h_{K_i}$  označíme průměr elementu  $K_i$ ,  $|K_i|$  označuje obsah  $K_i$ .

Přibližné řešení bude hledáno v každém časovém okamžiku jako prvek konečně dimenzionálního prostoru

$$S_h = S^{r,-1}(\Omega_h, \mathcal{T}_h) = \{v; v|_K \in P^r(K) \forall K \in \mathcal{T}_h\},$$

kde  $r \geq 0$  je celé číslo a  $P^r(K)$  označuje prostor všech polynomů na  $K$  stupně  $\leq r$ . Funkce  $v \in S_h$  jsou obecně nespojité na hranicích  $\Gamma_{ij}$ . Jako  $v|_{\Gamma_{ij}}$  označíme hodnoty  $v$  na  $\Gamma_{ij}$  uvažované z vnitřku, respektive z vnějšku  $K_i$ .

K odvození diskrétní formulace problému vynásobíme (4.28) testovací funkcí  $\varphi \in S_h$ , integrujeme přes každý element  $K_i$ ,  $i \in I$ , aplikujeme Greenovu větu a sečteme přes všechny  $i \in I$ . Poté approximujeme toky přes strany  $\Gamma_{ij}$  pomocí numerického toku  $\mathbf{H} = \mathbf{H}(\mathbf{u}, \mathbf{w}, \mathbf{n})$  ve formě

$$\int_{\Gamma_{ij}} \sum_{s=1}^2 \mathbf{f}_s(\mathbf{w}(t)) (n_{ij})_s \cdot \varphi \, dS \approx \int_{\Gamma_{ij}} \mathbf{H}(\mathbf{w}_h(t)|_{\Gamma_{ij}}, \mathbf{w}_h(t)|_{\Gamma_{ji}}, \mathbf{n}_{ij}) \cdot \varphi \, dS.$$

Dále uvažujeme dělení  $0 = t_0 < t_1 < t_2 \dots$  časového intervalu  $(0, T)$  a označíme  $\tau_k = t_{k+1} - t_k$ . Používáme označení  $\mathbf{w}_h^k$  pro blízko řešení v čase  $t_k$ . Použitím explicitní časové diskretizace bychom v důsledku podmínky stabilitu museli uvažovat  $0 < \tau_k \ll 1$ . Použitím implicitního schématu bychom dostali silně nelineární algebraický systém. Uvažujeme proto semi-implicitní časovou diskretizaci. S použitím homogenity toků  $\mathbf{f}_s$  a s Vijayasundaramovým numerickým tokem můžeme odvodit formu

$$\begin{aligned} & b_h(\mathbf{w}_h^k, \mathbf{w}_h^{k+1}, \varphi_h) \\ &= - \sum_{K \in \mathcal{T}_h} \int_K \sum_{s=1}^2 \mathbf{A}_s(\mathbf{w}_h^k(\mathbf{x})) \mathbf{w}_h^{k+1}(\mathbf{x}) \cdot \frac{\partial \varphi_h(\mathbf{x})}{\partial x_s} \, d\mathbf{x} \\ &+ \sum_{K_i \in \mathcal{T}_h} \sum_{j \in S(i)} \int_{\Gamma_{ij}} [\mathbf{P}^+ (\langle \mathbf{w}_h^k \rangle_{ij}, \mathbf{n}_{ij}) \mathbf{w}_h^{k+1}|_{\Gamma_{ij}} \\ &+ \mathbf{P}^- (\langle \mathbf{w}_h^k \rangle_{ij}, \mathbf{n}_{ij}) \mathbf{w}_h^{k+1}|_{\Gamma_{ji}}] \cdot \varphi_h \, dS. \end{aligned} \quad (4.37)$$

Zde  $\langle \mathbf{w}_h^k \rangle_{ij} = (\mathbf{w}_h^k|_{\Gamma_{ij}} + \mathbf{w}_h^k|_{\Gamma_{ji}})/2$  a  $\mathbf{P}^\pm = \mathbf{P}^\pm(\mathbf{w}, \mathbf{n})$  označuje kladnou, resp. zápornou část matice  $\mathbf{P}(\mathbf{w}, \mathbf{n})$ . Forma  $b_h$  je lineární vzhledem ke druhé a třetí proměnné. Označíme  $(\mathbf{u}, \mathbf{v})_h = \int_{\Omega_h} \mathbf{u} \cdot \mathbf{v} dx$  a zavedeme následující semi-implicitní schéma:

Pro každé  $k \geq 0$  hledáme  $\mathbf{w}_h^{k+1}$  tak, že

- a)  $\mathbf{w}_h^{k+1} \in \mathbf{S}_h,$  (4.38)
- b)  $\left( \frac{\mathbf{w}_h^{k+1} - \mathbf{w}_h^k}{\tau_k}, \varphi_h \right)_h + b_h(\mathbf{w}_h^k, \mathbf{w}_h^{k+1}, \varphi_h) = 0, \forall \varphi_h \in \mathbf{S}_h, k = 0, 1, \dots,$
- c)  $\mathbf{w}_h^0 = \Pi_h \mathbf{w}^0 = \mathbf{S}_h - \text{interpolace } \mathbf{w}^0.$

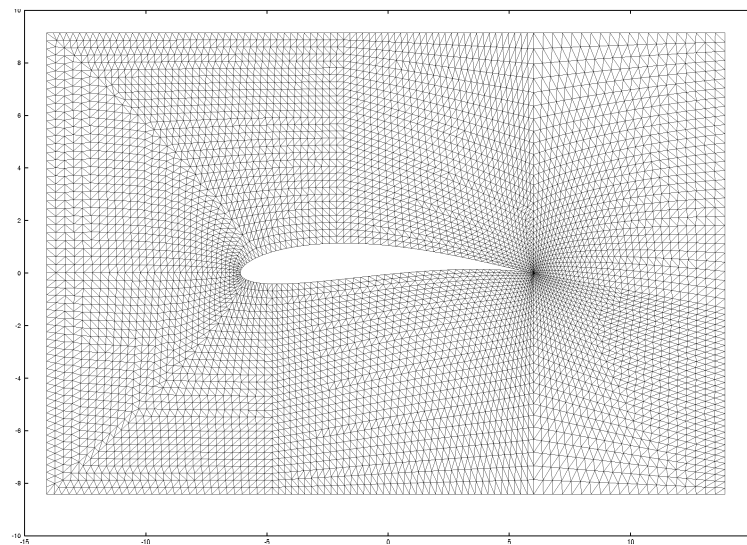
Přechod mezi časovými kroky je realizován pomocí řešení soustavy lineárních rovnic.

Pokud  $\Gamma_{ij}$  ( $= \Gamma_{ji}$ )  $\subset \partial\Omega_h$ , je třeba určit stav  $\mathbf{w}_h^k|_{\Gamma_{ji}}$  na základě okrajových podmínek. V práci [7], paragraf 4, je popsána realizace okrajových podmínek umožňujících numerické řešení proudění s velkým rozsahem Machova čísla.

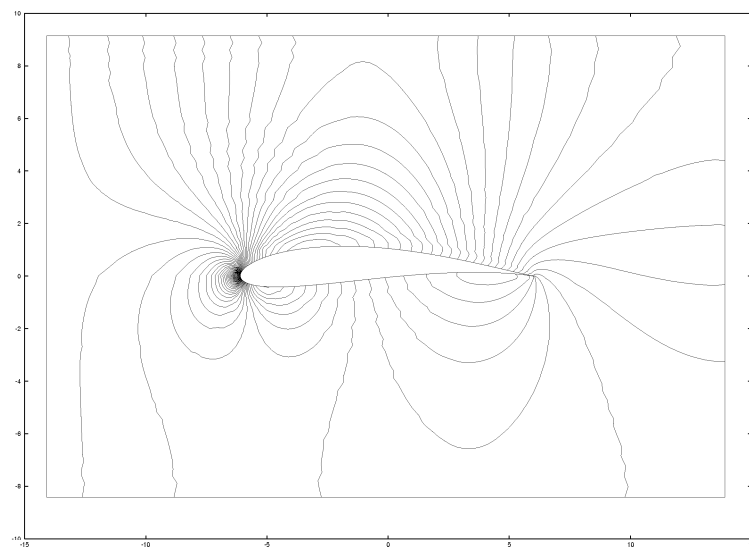
# Kapitola 5

## Výsledky

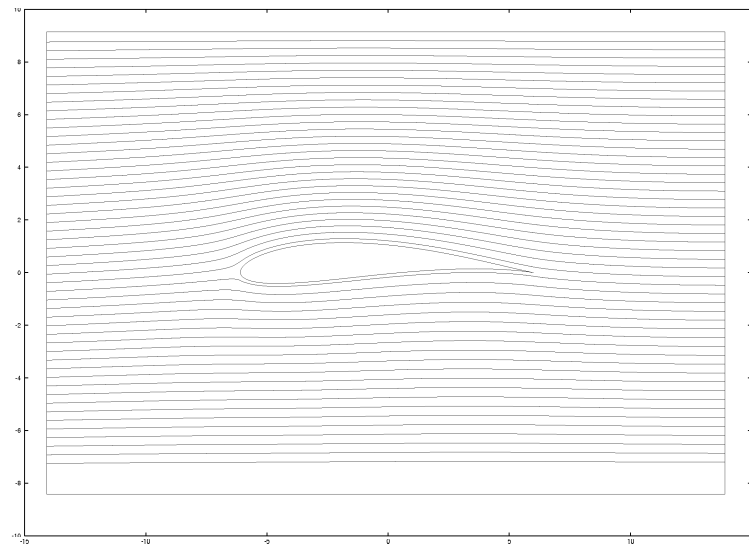
K testování numerických metod byl zvolen Žukovského profil s parametry  $a = 6$ ,  $h = 0.5$ ,  $\Delta = 5$ . Uvažujeme nulový náběžný úhel. Pro řešení problému metodou konečných prvků jsem používal program popsaný v [4], program vytvořil triangulaci, vypočítal proudovou funkci a rychlosť ve vrcholech trojúhelníků. Maximální velikosť rychlosť je  $|\mathbf{b}| = 58,312300$ . Minimum Machova čísla je 0,035995, maximum je 0,177087. Na vstupu (komponenta  $\Gamma_1$ ) je hodnota Machova čísla približne 0,127. Získané výsledky jsou srovnány s výpočty obsaženými v práci [7].



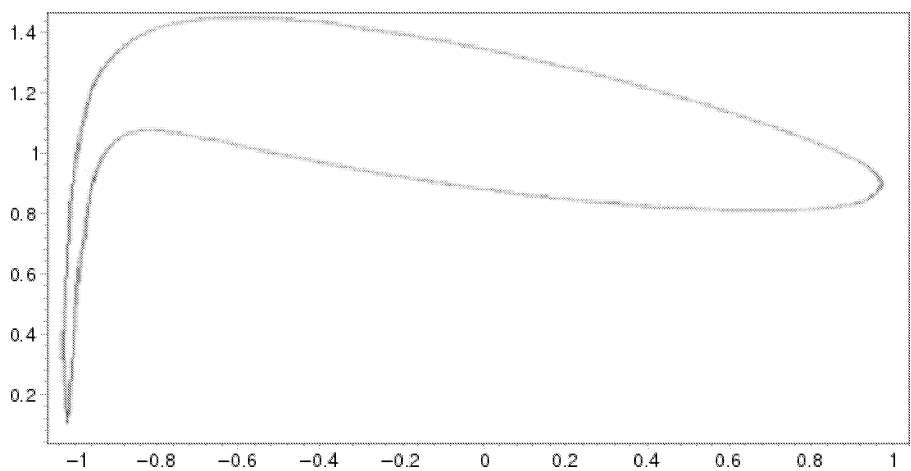
Obrázek 5.1: Triangulace výpočetní oblasti pro metodu konečných prvků



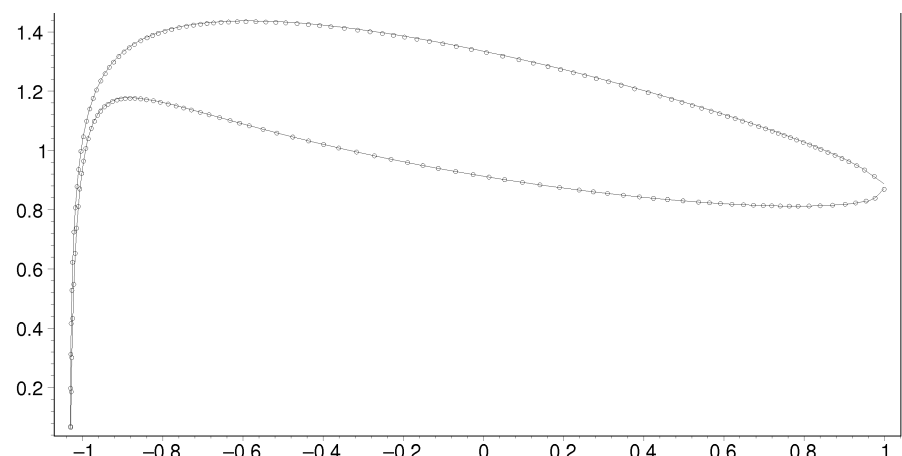
Obrázek 5.2: Izokřivky rychlosti získané metodou konečných prvků



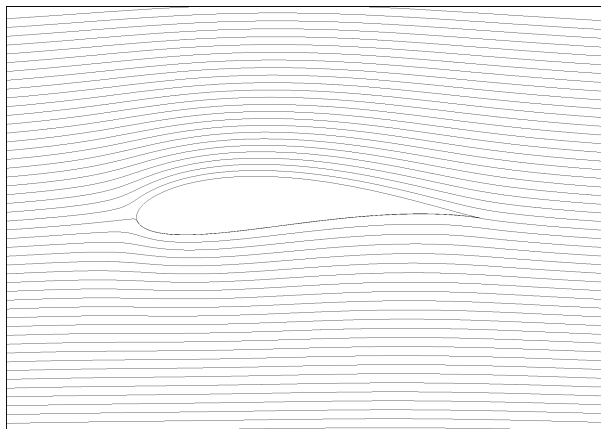
Obrázek 5.3: Graf proudnic, metoda konečných prvků



Obrázek 5.4: Rozdělení rychlosti podél profilu, metoda konečných prvků



Obrázek 5.5: Rozdělení rychlosti podél profilu, — - nespojitá Galerkinova metoda, ○ - přesné řešení nestlačitelného proudění



Obrázek 5.6: Proudnice získané nespojitou Galerkinovou metodou

Výsledky jsou kvalitativně stejné pro metodu konečných prvků i pro nespojitou Galerkinovu metodu. Narozdíl od metody konečných prvků aplikované na formulaci pomocí proudové funkce, která je použitelná pouze pro řešení subsonického, nevřivého, stacionárního proudění, je možné pomocí nespojité Galerkinovy metody pro řešení Eulerových rovnic modelovat i zavířené, nestacionární, transonické proudění. Její realizace je ale podstatně složitější.

# Literatura

- [1] Dolejší V., Feistauer M.: *On the discontinuous Galerkin finite element method for the numerical solution of inviscid compressible flow*, in: Brezzi F., Buffa A., Corsaro S., Murli A. (editors): *Numerical Mathematics and Advanced Applications*, ENUMATH 2001, Springer, Milano, 2003, 65–84.
- [2] Dolejší V., Feistauer M.: *A semi-implicit discontinuous Galerkin finite element method for the numerical solution of inviscid compressible flow*, J. Comput. Physics **198** (2004) 727–746.
- [3] Feistauer M.: *Mathematical Methods in Fluid Dynamics*, Longman, Harlow, 1993.
- [4] Feistauer M., Felcman J., Rokyta M., Vlášek Z.: *Numerické řešení modelů nevazkého neviřivého proudění metodou konečných prvků*, výzkumná zpráva, ŠKODA Plzeň, VVZ Turbíny, 1989.
- [5] Feistauer M., Felcman J., Rokyta M., Vlášek Z.: *Finite-element solution of flow problems with trailing conditions*, J. Comput. Appl. Math. **44** (1992) 131–165.
- [6] Feistauer M., Felcman J., Straškraba I.: *Mathematical and Computational Methods for Compressible Flow*, Clarendon Press, Oxford, 2003.
- [7] Feistauer M., Kučera V.: *On a robust discontinuous Galerkin technique for the solution of compressible flow*, J. Comput. Physics **224** (2007) 208–221.